

# 计算机动画的算法与技术

## 课程项目：基于 GPU 的碰撞检测

Name ID

---

### 1 实验目的

利用 GPU 的并行运算优势实现高效的碰撞检测算法，并在此基础上实现刚体运动的模拟，制作一段动画。

### 2 方法

物体模拟分为两部分：刚体物理运算、碰撞检测与碰撞解决。接下来分别介绍。

#### 2.1 刚体物理

刚体物理积分算法基于 [2]。

在这个算法中，每个刚体由一系列球形粒子组成。每个粒子有如下属性，用小写字母表示：

- 固有属性：半径  $r_i$ 、质量  $m_i$ 、弹性  $e_i$ 、相对刚体重心的偏移位置  $u_i$ ；
- 状态属性：位置  $x_i$ 、速度  $v_i$ 。

每个刚体有如下属性，用大写字母表示：

- 固有属性：质量  $M_k$ 、初始惯性矩  $I_k(0)$ ；
- 状态属性：位置  $X_k$ 、线速度  $V_k$ 、加速度  $A_k$ 、方向四元数  $Q_k$ 、角动量  $L_k$ 。

为简洁起见，接下来未说明时，不带下标的小写字母均表示某个粒子  $i$  的属性值，大写字母表示此粒子所属刚体  $k$  的属性值。

在每一步开始时，先计算每个粒子的位置和速度：

$$\begin{aligned}x &= X + QuQ^{-1} \\v &= V + A \times (QuQ^{-1})\end{aligned}$$

接下来将所有粒子独立处理，计算每个粒子所受的合外力。这一部分的具体计算方法在【碰撞解决】一节中介绍，这里不作展开。得到每个粒子所受的合力  $f$  后，可计算每个刚体所受的合力与合力矩

$$\begin{aligned}F &= \sum f \\T &= \sum (x - X) \times f \\&= \sum (QuQ^{-1}) \times f\end{aligned}$$

然后根据物理定律进行积分运算。首先考虑平移运动：

$$\begin{aligned}dX &= Vdt \\dV &= Adt\end{aligned}$$

这部分通过 Verlet 积分方法计算.

然后是旋转运动. 考虑角速度

$$\begin{aligned}\boldsymbol{\Omega} &= \mathbf{I}(t)^{-1}\mathbf{L} \\ &= \mathbf{Q}\mathbf{I}(0)^{-1}\mathbf{Q}^{-1}\mathbf{L}\end{aligned}$$

由此计算角动量与方向的变化量

$$\begin{aligned}d\mathbf{L} &= \mathbf{T}dt \\ d\mathbf{Q} &= \begin{bmatrix} \cos \frac{\|\boldsymbol{\Omega}\| dt}{2} & \frac{\boldsymbol{\Omega}}{\|\boldsymbol{\Omega}\|} \sin \frac{\|\boldsymbol{\Omega}\| dt}{2} \end{bmatrix}\end{aligned}$$

注意其中方向四元数的更新方式是作叉积  $\mathbf{Q}(t+dt) = d\mathbf{Q}(t) \times \mathbf{Q}(t)$ . 这部分难以化为 Verlet 积分的形式, 故采用前向 Euler 方法计算. 至此即完成了一个时间步长的积分运算.

## 2.2 碰撞检测

碰撞检测算法基于 [1]. 这一部分的目的是找出所有相交的粒子对.

这一算法的根基是扫描线 (sweep-and-prune, SaP) 方法. 选取主轴单位向量  $\mathbf{l}_z$ , 计算每个粒子的球心在轴上的坐标  $z_i = \mathbf{x}_i \cdot \mathbf{l}_z$ , 然后将所有坐标排序.

记所有粒子的最大半径为  $R$ . 如此一来, 对于某粒子  $i$ , 与之相交的粒子  $j$  在轴上的坐标  $z_j$  必然满足  $|z_i - z_j| < r_i + R$ . 于是只需在排序后的序列中检查此范围内的粒子是否与  $i$  相交即可.

在此基础上引入了几处优化, 接下来一一介绍.

### 2.2.1 并行化

扫描线方法可以在 GPU 上高度并行化. 每个粒子的  $z_i$  值计算是完全独立的, 排序的过程也可以由并行的基数排序实现.

由于被排序的数值是浮点数形式, 为了在此情况下应用基数排序, 需要执行一些转换. 首先注意到, 对于所有有限正数, IEEE 浮点数将幂 (exponent) 以无符号整数的形式置于高位, 将有效数 (significand) 以固定精度的二进制分数形式置于低位, 因此它们直接按位解释 (bitcast) 为整数时, 大小关系不变. 而对于有限负数, 由于符号位只表示  $-1$  的系数, 故 bitcast 后的大小关系会颠倒. 另外, 在升序排序时, 所有负浮点数要置于所有正数之前, 这与最高位 (即浮点数符号位) 的规定相反.

由此可以得出, 在 bitcast 为无符号整数后, 恢复原本浮点数大小关系的方法是: 首先将符号位取反, 此外若原本为负数, 则将所有其余位也取反. 此后即可作为整数排序问题, 进行基数排序.

基数排序本身可以通过将序列分段实现并行化, 每个线程负责统计一个连续段内每个桶中元素的数量, 所有统计结果由一个并行化前缀和算法合并后, 再回到每个线程中将段内的元素重排, 写入新数组的恰当位置. 这一部分的理论并行时间复杂度是  $O(\log n)$ , 其中  $n$  为序列长度. 不过实际上由于硬件性能有限, 如此低的耗时并不现实, 具体的线程数量也取决于硬件与元素数量进行调优.

### 2.2.2 主轴选择

通过主成分分析 (PCA) 方法选择主轴, 可以使各粒子在轴上的投影更加分散, 避免冗余计算. 这即是求

$$\operatorname{argmax}_{\|l_z\|=1} \operatorname{Var}_i \{l_z \cdot x_i\},$$

若记所有粒子的  $3 \times 1$  位置向量水平拼接所得的  $3 \times n$  矩阵为  $X$ , 则相当于求

$$\operatorname{argmax}_{\|l_z\|=1} l_z^T X X^T l_z,$$

即相当于求 3 阶协方差方阵  $XX^T$  的主特征向量.

协方差矩阵  $XX^T$  显然可以高度并行计算. 主特征向量可以由幂迭代法 (power iteration) 计算, 所需迭代次数非常少 (约 10 次以内可基本收敛), 顺序执行即可.

### 2.2.3 空间分割

在垂直于主轴的二维坐标系上, 可以对粒子进行空间分割, 以进一步排除大量冗余运算.

首先构建这样一个坐标系. 任意选取一个不与  $l_z$  平行的单位向量, 与  $l_z$  作叉积即可得一个垂直于  $l_z$  的向量  $l_p$ . 计算  $l_q = l_z \times l_p$ , 则以三个单位向量  $l_p, l_q, l_z$  为正方向形成一右手坐标系. 在此坐标系下计算每个点的坐标  $p_i = x_i \cdot l_p, q_i = x_i \cdot l_q$ . 在  $p$ - $q$  平面上进行空间分割.

设分割所用块的边长为  $M$ ; 区域  $[aM, (a+1)M) \times [bM, (b+1)M)$  记作块  $(a, b)$ . 一个半径为  $r_i$ 、坐标为  $(p_i, q_i)$  的粒子可能与这样的块  $(a, b)$  相交:

$$\begin{aligned} \left\lfloor \frac{p_i - r_i}{M} \right\rfloor \leq a < \left\lceil \frac{p_i + r_i}{M} \right\rceil \\ \left\lfloor \frac{q_i - r_i}{M} \right\rfloor \leq b < \left\lceil \frac{q_i + r_i}{M} \right\rceil \end{aligned}$$

将原本的粒子在扫描线上用一系列新的记录替代: 对于每个相交的块  $(a, b)$ , 放置一个记录点  $z' = z_i + N \cdot f(a, b)$ . 其中  $N$  是  $z$  坐标中的最大值与  $R$  之和, 而  $f(a, b)$  是块到整数的单射 (不一定是满射). 这相当于将每个块赋予一个惟一编号, 然后将不同块的记录点之间彻底分开. 这里  $f$  采用基于 Cantor 配对函数的定义

$$\begin{aligned} f(a, b) &= (2\pi(a, b) + \mathbb{1}[a < 0]) \cdot (2 \cdot \mathbb{1}[y < 0] - 1) \\ \pi(a, b) &= \frac{1}{2}(a+b)(a-b+1) + a \end{aligned}$$

此番处理后, 依照原始的扫描线方法进行排序与检查即可. 由于块边界的记录点之间存在大的差异, 在扫描线上检查时不会越过块边界, 减少冗余运算.

存在一个细节问题. 一个粒子可能会被分入多个块中, 而若两个跨过块边界的粒子相交, 处理不当可能会将它们之间的碰撞计入多次. 一个处理方式是将每个粒子在其相交的  $(a, b)$  最小的块中标记为“实”, 在其余相交的块中标记为“虚”; 此后, 在扫描线上只从“实”粒子  $i$  出发检查碰撞, 检查范围为  $(z_i - r_i, z_i)$  内的“虚”粒子以及  $(z_i - r_i, z_i + r_i)$  内的“虚”“实”粒子. 这样一来, 即避免了此类重复计入的问题.

## 2.3 碰撞解决

碰撞解决算法同样基于 [2].

对于两个相交的粒子  $i, j$ , 它们之间的相互作用力由一个带阻尼的弹簧模型近似, 可分为三部分: 排斥力 (repulsive force)  $f_s$ 、阻尼力 (damping force)  $f_d$ 、剪切力 (shearing force)  $f_t$ . 具体而言,

$$\begin{aligned} f_s &= k_s \cdot ((r_i + r_j) - \|\mathbf{x}_i - \mathbf{x}_j\|) \cdot \frac{\mathbf{x}_i - \mathbf{x}_j}{\|\mathbf{x}_i - \mathbf{x}_j\|}, \\ f_d &= \eta \cdot (\mathbf{v}_j - \mathbf{v}_i), \\ f_t &= k_t \cdot \left( (\mathbf{v}_j - \mathbf{v}_i) - \left( (\mathbf{v}_j - \mathbf{v}_i) \cdot \frac{\mathbf{x}_i - \mathbf{x}_j}{\|\mathbf{x}_i - \mathbf{x}_j\|} \right) \cdot \frac{\mathbf{x}_i - \mathbf{x}_j}{\|\mathbf{x}_i - \mathbf{x}_j\|} \right). \end{aligned}$$

地面对粒子的弹力也可类似由弹簧模型近似, 包括排斥力与阻尼力, 其中阻尼力的系数与粒子弹性  $e_i$  成正比. 摩擦力由 Coulomb 模型计算: 动摩擦力  $\|\mathbf{f}_{\text{fric}}\| = \mu \|\mathbf{f}_{\text{norm}}\|$ , 最大静摩擦力等于动摩擦力.

将上述所有力合计后即可按照前述方法进行积分.

## 3 结果

### 3.1 效率

测试环境为 MacBook Pro (Early 2015), GPU 为 Intel Iris Graphics 6100, 这与 [1] 中实验所使用的 NVIDIA Tesla C1060 性能较为接近.

测试场景中放置大量刚体, 各自由八个粒子组成, 反复测量一步模拟 (`step()`, 包括碰撞检测、碰撞解决与积分) 的耗时. 所得结果与 [1] 汇报的结果对比如下.

粒子数量	本实验 (ms)	[1] (ms)
16 000	3.9	3
128 000	12	11
960 000	87	161

虽然由于测试环境和虚拟场景的设定都不尽相同, 数据不完全具有可比性, 但是可以看出二者达到了类似的效率, 也即与 CPU 处理相比有显著优势.

### 3.2 问题

程序存在的一个问题是在相同的初始设定下, 多次执行程序所得的物体运动方式不同. 经检查, 其原因是多个线程计算浮点数之和时累加顺序不固定, 而 IEEE 浮点数运算并不满足交换律, 导致结果的微小差异不断累积, 形成蝴蝶效应.

虽然此问题可以通过略微改写循环形式, 使 Taichi 固定运算顺序来解决, 但一面对性能可能有细微影响, 另一方面这样的差异是可以接受的, 毕竟其本质是浮点数精度的限制, 而不是结果错误, 因此没有针对此问题修改程序.

## 附录 A 程序细节

### 环境与运行方式

程序基于“太极”（Taichi）并行计算框架编写，此框架基于 Python 语言。因此，程序要求系统装有支持 Taichi 的 Python（实验中为 Python 3.9.5）。

推荐使用 Python 虚拟环境来运行程序。将源代码目录作为工作目录，执行命令

```
python3 -m venv ti          # 创建虚拟环境
source ti/bin/activate      # 激活虚拟环境
pip3 install -r requirements.txt # 安装依赖项
```

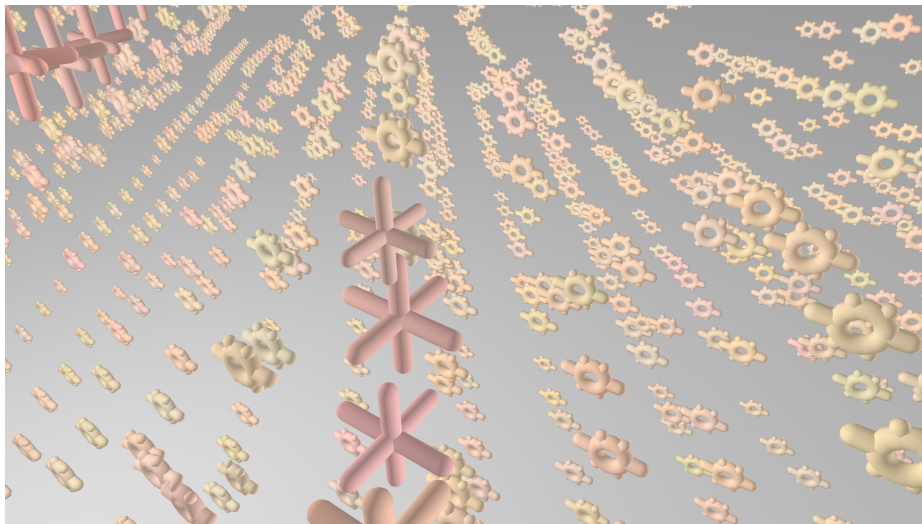
此后即可在同一目录下选择一个程序运行：

```
python3 sim1-spheres.py    # 球体场景
python3 sim2-molecules.py  # 不规则物体场景
```

Taichi 对不同 OS 与 GPU 的支持可能要求不同的配置方式。若出现问题，可依次尝试设置环境变量 `TI_BACKEND` 为以下值之一，重新运行：

```
export TI_BACKEND=gpu
export TI_BACKEND=opengl
export TI_BACKEND=vulkan
export TI_BACKEND=cpu      # 无 GPU 加速
```

若正确运行，应当出现一个展示物体动画的窗口。



在此窗口中按下以下按键，可以为所有粒子施加不同种方向的外力，此时地面也改变颜色。如果多个按键同时按下，则为多种外力叠加。

- 左箭头键： $x$  方向，朝向原点；
- 上箭头键： $y$  方向，朝向原点；
- 空格键：旋转方向，使物体绕原点公转。

## 组织结构

两份程序的结构一致，球体场景由不规则物体场景简化而来。以下均由不规则场景的程序（sim2-molecules.py）为例，并在假设 Taichi 通过 GPU（而非 CPU 多线程）加速程序的前提下作出分析与解释。

程序首先定义一系列 Taichi 域，也即在 CPU 与 GPU 之间交换的数据。其中重要的域罗列如下：

- `x0, m, elas, body`: 每个粒子相对刚体重心的位置、粒子的质量、弹性，以及所属的刚体序号。
- `bodyPos, bodyVel, bodyAng...`: 每个刚体的位置、速度、角速度等状态，详见源码注释。
- `fSum, tSum`: 每个刚体在当前时刻受到的合力以及合力矩。
- `projPos, projIdx`: 每一个位置代表一个粒子在空间划分后的投影坐标，以及其序号。

然后定义了一系列 Taichi 的函数与核，它们即是在 GPU 上执行的子过程，其区别在于核可以由 Python 域的程序直接调用，而函数不可以。其中重要的子过程罗列如下：

- 模拟相关
  - `init()`: 构造物体形态与参数，预计算重心与惯性张量，设定位置，赋予初速度。
  - `step()`: 执行一步模拟。其中两个重要的子过程：
    - \* `colliResp(i, j)`: 若物体 `i` 与 `j` 接触，则计算它们之间的相互作用力，并将结果计入全局域 `fSum`（力）与 `tSum`（力矩）。
    - \* `sortProj(N)`: 将全局域 `projPos` 的前 `N` 个值排为升序，同时将全局域 `projIdx` 作为标签随排序过程一起移动。
- 显示相关
  - `buildMesh()`: 构造用于显示物体的网格模型。
  - `updateMesh()`: 根据物体的位置与方向，更新网格模型。

最后是 Python 域的一系列过程，这也是程序核心逻辑的起始点，具体在下一节解释。

## 逻辑流程

程序第 755–756 行调用 `init()` 与 `buildMesh()` 两个核，完成全局初始设定。

接下来是一些创建窗口、录制数据等工作，较为繁琐，若有兴趣请参见注释。

第 806 行起定义的 `render()` 函数按照当前的物体状态，将三维场景渲染到窗口上，并且若设定进行录制，则一并将物体状态记录下来。

第 837 行起的循环在每一帧执行 1 / 60 秒的模拟，即 10 次 `step()` 调用，然后调用 `render()` 渲染图像。

在第 327 行起定义的 `step()` 核内部，流程与【方法】一节中所述一致，即

- 计算粒子位置与速度（328 行起），
- 执行 PCA 并选取投影轴（344 行起），
- 进行空间划分、计算投影坐标并排序（376 行起），
- 寻找相交粒子对并计算互作用力（411 行起），

- 计入重力、地面弹力与摩擦力，以及通过输入控制的额外拉力（440 行起）。
- 计算积分并更新刚体状态（492 行起）。

具体实现方式与前文的描述一致，不再赘述。

## 附录 B 演示视频

演示视频见附件 demo.mp4。视频依次展示了球体场景与不规则物体场景的视频录像。其中地面颜色的变化指示施加的不同外力。另外，视频也包括了线框示意图，按照弹性与质量突出显示一部分物体，以更清晰地展示这两种属性对物体运动的影响。具体如下。



## 附录 C 录制与回放线框图

在运行模拟程序时，设置环境变量 REC，可以使程序录制回放数据。具体格式为

```
REC=<n_steps>,<file>
```

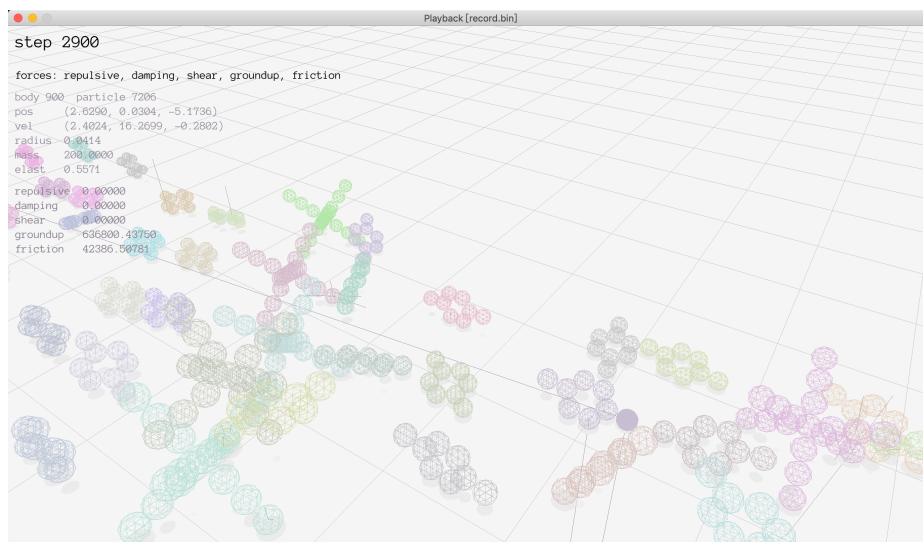
其中 <n\_steps> 为十进制正整数，表示要录制的步数（每帧 10 步，每秒 60 帧即 600 步），<file> 为存储的数据文件名称，此部分可以省略，默认为 record.bin。例如以下命令行：

- REC=600,sim1.bin python3 sim1-spheres.py 用于录制 1 秒的球体动画至文件 sim1.bin;
- REC=6000 python3 sim2-molecules.py 用于录制 10 秒的复杂物体动画至文件 record.bin.

源码目录下所附的 playback.c 是回放程序。将此源文件与图形库 raylib 一同编译并链接以获得可执行文件 playback。

运行方式为 ./playback <file>，其中 <file> 为存储的数据文件名称，若省略则同样默认为 record.bin。运行后可使用左右按键连续播放，也可使用上下按键逐步播放；用左 Shift 键调整播放速度。另外，可用 W、A、S、D、Q、Z 六个按键在三维空间中移动，并用 E、R 两个按键调整摄像机视角。按下数字 0 键可以切换着色方式，如按照质量、按照弹性系数赋予深浅颜色。

若取消 Python 源文件末尾倒数第 8 至倒数第 6 行的三个注释符号，则录制的文件额外包括速度、受力情况、接触情况等详细数据。在编译 playback.c 时额外定义符号 RECDEBUG 为 1（GCC 命令行参数 -DRECDEBUG=1），即可播放此类记录。此时按下数字 1 至 5 键可以切换五种不同力（排斥力、阻尼力、剪切力、地面弹力、摩擦力）分别是否由粒子出发的直线段指示方向与大小。在开发过程中，此功能用于调试物体运动的问题，如下图展示了地面作用力过大的错误情形。



## 参考文献

- [1] **Real-time Collision Culling of a Million Bodies on Graphics Processing Units.**  
Fuchang Liu, Takahiro Harada, Youngeun Lee, Young J. Kim.  
ACM SIGGRAPH 2010, DOI:10.1145/1882261.1866180.
- [2] **Real-Time Rigid Body Simulation on GPUs.** Takahiro Harada. GPU Gems 3 Ch. 29, NVIDIA.
- [3] **Improved GPU Sorting.** Peter Kipfer, Rüdiger Westermann. GPU Gems 2 Ch. 46, NVIDIA.